

การศึกษาเชิงตัวเลขของผลกระทบของความปั่นป่วนต่อพฤติกรรมของการไหลของอากาศ  
อุณหภูมิ ความชื้น และฝุ่นละอองภายในห้องสะอาด

Numerical Study of Turbulence Effects on Behaviors of Airflow, Temperature,  
Humidity and Particle in a Clean Room

เอกสารที่ สุขจิต <sup>1\*</sup> วรังค์รัตน์ จันทสารโกร <sup>2</sup> และ เอกชัย จันทสารโกร <sup>1</sup>

<sup>1</sup> สาขาวิชาวิศวกรรมเครื่องกล สำนักวิชาวิศวกรรมศาสตร์ มหาวิทยาลัยเทคโนโลยีสุรนารี อ.เมือง จ.นครราชสีมา 30000

โทร 0-4422-4410 โทรสาร 0-4422-4613 \*อีเมล์ s\_eakarong@hotmail.com

<sup>2</sup> ภาควิชาวิศวกรรมเครื่องกล คณะวิศวกรรมศาสตร์ มหาวิทยาลัยเกษตรศาสตร์ บางเขน กรุงเทพฯ 10900

โทร 0-2942-8555 ต่อ 1829 โทรสาร 0-2579-4657 อีเมล์ fengvrj@ku.ac.th

Eakarong Sukjit <sup>1\*</sup>, Varangrat Juntasaro <sup>2</sup>, and Ekachai Juntasaro <sup>1</sup>

<sup>1</sup> School of Mechanical Engineering, Institute of Engineering, Suranaree University of Technology,  
Nakhon Ratchasima, 30000, Thailand

Tel: 0-4422-4410, Fax: 0-4422-4613, \* E-mail: s\_eakarong@hotmail.com

<sup>2</sup> Department of Mechanical Engineering, Faculty of Engineering, Kasetsart University,  
Bangkhen, Bangkok 10900, Thailand

Tel: 0-2942-8555 ext 1829, Fax: 0-2579-4657, E-mail: fengvrj@ku.ac.th

## บทคัดย่อ

จุดประสงค์ของการศึกษาเชิงตัวเลขของผลกระทบของความปั่นป่วนต่อพฤติกรรมของการไหลของอากาศ อุณหภูมิ ความชื้น และฝุ่นละอองภายในห้องสะอาด คือการทำความเข้าใจในพฤติกรรมของสภาวะแวดล้อมดังกล่าว ซึ่งจะนำไปสู่สภาวะแวดล้อมที่เหมาะสมต่อกระบวนการผลิตต่างๆ ที่ใช้ห้องสะอาด ซึ่งจะเป็นการช่วยเพิ่มคุณภาพและลดการสูญเสียของผลิตภัณฑ์ ในการศึกษานี้ได้ทำการพัฒนาโปรแกรมคอมพิวเตอร์ขึ้นด้วยภาษา Visual C++ บนพื้นฐานของระเบียบวิธีปริมาตรจำกัด ขั้นตอนวิธี SIMPLE และการประมาณในช่วงของ Rhee and Chow ถูกนำมายใช้เพื่อป้องกันการไม่เกี่ยวพันกันของสนามความเร็วและสนามความดัน ในการจำลองการไหลแบบปั่นป่วนได้เลือกใช้แบบจำลองความปั่นป่วนเชิงเส้นเรียโนลเด้นมเบอร์ต่า  $k-\varepsilon$  ของ Launder and Sharma โปรแกรมคอมพิวเตอร์ที่พัฒนาขึ้นได้รับการทดสอบและตรวจสอบความถูกต้อง โดยการเปรียบเทียบผลการคำนวณกับผลการทดลองและผลการคำนวณเชิงตัวเลขของปัญหาการไหลพื้นฐานที่เป็นที่ยอมรับก่อนทำการวิเคราะห์ผลกระทบของความปั่นป่วนต่อพฤติกรรมของสภาวะแวดล้อมภายในห้องสะอาด

## Abstract

The objective of this numerical study of turbulence effects on behaviors of airflow, temperature, humidity and particle in a clean room is to understand the behavior of environment inside a clean room leading to the suitable environment for manufacturing that employs a clean room. This will improve the product quality and decrease the defected product. In this study, the computer program is developed on Visual C++ and on the basis of the finite volume method. The SIMPLE algorithm combined with the Rhee and Chow interpolation is used to avoid the decoupling between the velocity field and the pressure field. For turbulent flow, the low-Reynolds-number linear  $k-\varepsilon$  turbulence model of Launder and Sharma is employed. The developed computer program is tested and validated by comparing the computed results with the experimental data and acceptable numerical solution of fundamental flow problems before analyzing the turbulence effects on the behavior of environment in the clean room.

## 1. บทนำ

ห้องสะอาด (Clean Room) เป็นห้องบริเวณปิดที่มีการควบคุม สภาวะแวดล้อมภายในห้องได้แก่ อุณหภูมิสิ่งเงื่อน ความชื้น อากาศ ความร้อน รูปแบบการไหลของอากาศ การสันสะเทือน แสงสว่าง และสิ่งมีชีวิตจำพวกจุลินทรีย์ ในอัตราการควบคุมคุณภาพของห้อง สะอาดนั้นมีข้อจำกัดอยู่มากทั้งด้วยความรู้ทางวิชาการยังน้อยและ เครื่องมือในการผลิตอุปกรณ์ยังไม่สนับสนุน แต่ในปัจจุบันทั้งความรู้ และประสิทธิภาพของเครื่องมือในการผลิตอุปกรณ์มีมากขึ้น ทำให้ เทคโนโลยีห้องสะอาดถูกพัฒนาขึ้นอย่างรวดเร็วและนำมาใช้กับ อุตสาหกรรมหลายประเภท ในอุตสาหกรรมไมโครอิเล็กทรอนิกส์ระบบ ห้องสะอาดเป็นปัจจัยสนับสนุนพื้นฐานที่ทำให้เกิดการพัฒนาโครงสร้าง ที่จะเอื้อต่อการติดต่ออุปกรณ์ทางอิเล็กทรอนิกส์ทำให้ อย่างมีประสิทธิภาพ ในอุตสาหกรรมการผลิตยาระบบท้องสะอาดทำให้ สามารถบรรจุภัณฑ์ปิดด้วยโรคได้และสามารถเดรียมสารที่ไวต่อ ปฏิกิริยาเคมีได้อย่างปลอดภัย ระบบห้องสะอาดนำเสนอสู่การเพิ่ม คุณภาพทางการผลิตฟิล์มถ่ายรูปและพลาสติกฟอล์ยทำให้ผลิตภัณฑ์ที่ ได้มีคุณภาพมากขึ้น ระบบห้องสะอาดสามารถเพิ่มความนานาซึ่งกันและ กัน อุปกรณ์ทางกลและเครื่องมือที่ต้องการความแม่นยำในการปฏิบัติงาน ได้เป็นอย่างดี การใช้เทคโนโลยีห้องสะอาดไม่ได้จำกัดอยู่ในวงการ อุตสาหกรรมเท่านั้นแต่ยังมีการใช้ในการปฏิบัติงานสำคัญในด้านอื่นๆ อีก เช่น ใช้เป็นระบบปรับอากาศให้กับห้องผู้ป่วยจุลเจน ห้องผ่าตัด และห้องผู้ป่วยที่มีระบบภูมิคุ้มกันอ่อนแอภายในโรงพยาบาล เทคโนโลยีห้องสะอาดถูกพัฒนาขึ้นมาเพื่อรักษาความสะอาดของอากาศ ที่ต้องการใช้ในพื้นที่ปฏิบัติงาน โดยการทำให้อากาศมีปริมาณสิ่งเงื่อน น้อยที่สุดและควบคุมรูปแบบการไหลของอากาศที่เหมาะสม ป้องกัน อันตรายจากฝุ่นละอองและเชื้อโรคที่ประปนอยู่ในอากาศอันจะก่อให้เกิด ความเสียหายในกระบวนการผลิตและผู้ป่วย ป้องกันการปลดปล่อย อนุภาคสิ่งเงื่อนที่ไม่ต้องการออกสู่สิ่งแวดล้อม ในปัจจุบันเทคโนโลยี ห้องสะอาดไม่ได้เป็นความรู้เฉพาะทางอีกต่อไป ได้มีการนำไปใช้อย่าง กว้างขวางในภาคอุตสาหกรรม

หลังจากมีการใช้ประโยชน์จากผลศาสตร์ของไอลเซิงคำนวน โดย เริ่มจากปี ค.ศ. 1960 เพื่อใช้ในการออกแบบด้านอากาศยาน ปัจจุบัน ผลศาสตร์ของไอลเซิงคำนวนได้ถูกขยายเป็นความรู้ที่ใช้ประโยชน์กัน อย่างกว้างขวางในภาคอุตสาหกรรมและงานวิจัยด้านต่างๆ รวมถึงช่วย ในการออกแบบและพัฒนาเทคโนโลยีห้องสะอาด จากการสืบต้น เอกสารงานวิจัยที่เกี่ยวข้องกับการออกแบบและพัฒนาเทคโนโลยีห้อง สะอาดโดยใช้ผลศาสตร์ของไอลเซิงคำนวนสามารถแสดงรายละเอียด ได้ดังต่อไปนี้

Cheng, Liu, Lam, Cai, and Lee (1999) ได้ศึกษาผลกระทบของ ความพรุนของพื้นห้องสะอาดซึ่งใช้ในการคุณภาพการไอลที่ปล่อยออกมาย จำกัดที่จ่ายลม ความสูงของพื้น และขนาดความกว้างของห้องที่มีต่อ ความสำมั่นเสมอของการกระจายตัวของความเร็วของอากาศภายในห้อง สะอาดแบบ Unidirectional Flow Clean Room โดยใช้ซอฟต์แวร์ STAR-CD

Hu, Chuah, and Yen (2002) ได้ทำการประเมินประสิทธิภาพของ การติดตั้งอุปกรณ์ที่เรียกว่า Mini-environment เพื่อช่วยเพิ่มระดับของ ความสะอาดภายในห้องสะอาดของอุตสาหกรรมอิเล็กทรอนิกส์ โดยผล ของติดตั้ง Buffer Zone เพื่อช่วยในการป้องกันฝุ่นละอองเข้าไปในส่วน ของพื้นที่ปฏิบัติงาน พบร่วมสามารถควบคุมฝุ่นละอองได้น้อยกว่า 1 Particle/m<sup>3</sup> ในส่วนของพื้นที่ปฏิบัติงาน

Rouaud and Hivet (2002) ได้ใช้โปรแกรมคอมพิวเตอร์ทาง พลศาสตร์ของไอลเซิงคำนวน ESTET เพื่อตรวจสอบรูปแบบการไหล ภายในห้องสะอาดของกระบวนการผลิตอาหาร โดยเบรียบเทียนความ ถูกต้องของผลการคำนวนเชิงตัวเลขกับผลการทดลอง นอกเหนือนี้ยังได้ ทำการประเมินความถูกต้องแบบของจำลองความบันปั่นป่วน 2 แบบคือ Standard  $k - \varepsilon$  และ Renormalisation Group (RNG)  $k - \varepsilon$  จากผล การศึกษาพบว่าแบบจำลองความบันปั่นป่วน RNG  $k - \varepsilon$  มีความ เหมาะสมในการจำลองการไหลภายในห้องสะอาดมากกว่าแบบจำลอง ความบันปั่นป่วน Standard  $k - \varepsilon$  เนื่องจากค่าความหนืดของความ บันปั่นป่วนที่ได้จากแบบจำลองความบันปั่นป่วน Standard  $k - \varepsilon$  มีค่าที่สูง กว่าความเป็นจริงส่งผลให้ค่าพลังงานจลน์ของความบันปั่นป่วนมีค่าสูงตาม ไปด้วยทำให้การจำลองการไหลบริเวณที่เกิดการหมุนวนมีความ ผิดพลาดได้มากกว่าแบบจำลองความบันปั่นป่วน RNG  $k - \varepsilon$  ที่ให้ค่า ความหนืดของความบันปั่นป่วนที่ดูสมจริงกว่า

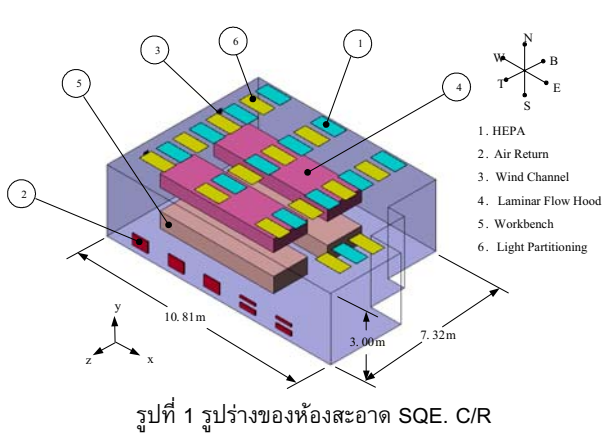
Rouaud and Hivet (2005) ได้พัฒนาความรู้เพื่อหารือในการ ออกแบบห้องสะอาดด้วยการศึกษาการเคลื่อนที่ของฝุ่นละอองภายใน ห้องสะอาดในสภาวะไม่คงตัว โดยนำเสนอตัวชี้วัดที่ใช้ในการบ่งบอก ประสิทธิภาพของการระบายน้ำอากาศภายในห้องสะอาด 3 ตัวชี้วัดที่มี ชื่อประกอบด้วย  $\varepsilon_c$  (Contamination Removal Effectiveness),  $\tau_p$  (Local Mean Age of Air) และ  $\tau_m$  (Room Mean Age of Air) อีกทั้ง ยังได้ศึกษาผลกระทบของตำแหน่งของแหล่งกำเนิดฝุ่นละอองที่มีต่อ การรักษา rate ความสะอาดภายในห้องสะอาด นอกเหนือนี้ยังได้นำเสนอ วิธีการคำนวนหาค่า ACH (Air Change Rate per Hour) ที่เหมาะสม ต่อการรักษา rate ความสะอาดของห้องสะอาด ซึ่งการเพิ่มค่า ACH โดยประมาณการหาค่าที่เหมาะสมจะนำไปสู่การล้างเปลือกตันทุน

วัตถุประสงค์ของงานวิจัยครั้งนี้คือการพัฒนาโปรแกรม คอมพิวเตอร์ที่สามารถใช้ศึกษาผลกระทบของการไอล อุณหภูมิ ความชื้น และฝุ่นละอองของอากาศที่เกิดขึ้นภายในห้องสะอาด เพื่อ ประโยชน์ในการออกแบบและปรับปรุงห้องสะอาดให้มีความเหมาะสม ต่อกระบวนการผลิต

## 2. รูป่างของปัญหา

ห้องสะอาดที่ใช้ในการศึกษาเป็นห้องสะอาด SQE. C/R ของ บริษัท Seagate Technology (Thailand) Ltd. จ. นครราชสีมา ซึ่งเป็น ห้องสะอาดประเภท Mixed Flow C/R ระดับความสะอาดภายในห้องถูก ออกแบบให้ทำงานที่ระดับความสะอาด Class 10,000 ส่วนพื้นที่ ปฏิบัติงานได้ Laminar Flow Hood ถูกออกแบบให้มีระดับความสะอาด Class 100 ขนาดของห้องสะอาดที่มากที่สุดในทิศทาง x, y และ z มีค่า เท่ากับ 10.81, 3.0 และ 7.32 เมตร ตามลำดับ รูปที่ 1 แสดงรูป่างของ ห้องสะอาดที่ใช้ในการศึกษา อุปกรณ์หลักภายในห้องประกอบด้วย หัว

จ่ายลม (HEPA) 13 หัวจ่าย ช่องลมที่แผ่นด้านทิศตะวันตก 2 ช่อง ช่องลมกลับ 5 ช่อง แผงหลอดไฟ 14 แผง โต๊ะทำงาน 2 ตัว และ Laminar Flow Hood 2 เครื่อง



### 3. แบบจำลองทางพลศาสตร์ของไหลเชิงคำนวณ

ในการศึกษาจะพิจารณาการไหลของอากาศภายในห้องสะอาดเป็นการไหลแบบอัดตัวไม่ได้และบันปวนที่สภาวะคงตัว อากาศที่พิจารณาเป็นของผสมระหว่างอากาศแห้งและไอน้ำ ไม่มีปฏิกิริยาเคมีเกิดขึ้นระหว่างอากาศแห้งและไอน้ำ อากาศถูกสมมติให้เป็นกําชลุ่มคงตัว และไม่มีอุปกรณ์ใดภายในห้องที่สามารถแผ่หรือดูดซับไอน้ำได้ คุณสมบัติของอากาศเป็นไปตามกฎของกําชผสมทางอุ่นคงตัว สมการควบคุมที่เกี่ยวข้องในการอธิบายพฤติกรรมของอากาศภายในห้องสะอาดสามารถเขียนให้อยู่ในรูปค่าเฉลี่ยกับเวลาแบบเทนเซอร์ได้ดังนี้

สมการความต่อเนื่อง

$$\frac{\partial}{\partial x_j} (\rho u_j) = 0 \quad (1)$$

สมการโมเมนตัม

$$\frac{\partial}{\partial x_j} (\rho u_j u_i) = \frac{\partial}{\partial x_j} (t_{ji} - \rho \overline{u'_j u'_i}) - \frac{\partial p}{\partial x_i} - \rho g_j \beta (T - T_r) \delta_{ij} + S_i \quad (2)$$

สมการพลังงาน

$$\begin{aligned} \frac{\partial}{\partial x_j} (\rho u_j h) &= \frac{\partial}{\partial x_j} \left[ \left( \frac{\bar{k}}{C_p} + \frac{\mu_t}{\sigma_T} \right) \right] \frac{\partial h}{\partial x_j} \\ &\quad - \frac{\partial}{\partial x_j} \left[ \left( \frac{\bar{k}}{C_p} + \frac{\mu_t}{\sigma_T} \right) T \frac{\partial C_p}{\partial x_j} \right] \end{aligned} \quad (3)$$

สมการเชษลักษณ์มวลของไอน้ำ

$$\frac{\partial}{\partial x_j} (\rho u_j m) = \frac{\partial}{\partial x_j} \left[ \left( \rho D_{i,m} + \frac{\mu_t}{S c_{i,m}} \right) \right] \frac{\partial m}{\partial x_j} \quad (4)$$

สมการระดับความเข้มข้นของฝุ่นละอองโดยเฉลี่ย

$$\frac{\partial}{\partial x_j} (\rho u_j c) = \frac{\partial}{\partial x_j} \left[ \left( \rho D_{i,c} + \frac{\mu_t}{S c_{i,c}} \right) \frac{\partial c}{\partial x_j} \right] + S_c \quad (5)$$

สมการพลังงานจลน์บันปวน

$$\frac{\partial}{\partial x_j} (\rho u_j k) = \frac{\partial}{\partial x_j} \left[ \left( \mu + \frac{\mu_t}{\sigma_k} \right) \frac{\partial k}{\partial x_j} \right] + P_k + G_k - \rho \varepsilon - \rho D + S_k \quad (6)$$

สมการการสูญเสียพลังงานจลน์บันปวน

$$\begin{aligned} \frac{\partial}{\partial x_j} (\rho u_j \varepsilon) &= \frac{\partial}{\partial x_j} \left[ \left( \mu + \frac{\mu_t}{\sigma_\varepsilon} \right) \frac{\partial \varepsilon}{\partial x_j} \right] + C_{\varepsilon 1} f_{\varepsilon 1} (P_k + C_{\varepsilon 3} G_k) \frac{\varepsilon}{k} \\ &\quad - \rho C_{\varepsilon 2} f_{\varepsilon 2} \frac{\varepsilon^2}{k} + \rho E + S_\varepsilon \end{aligned} \quad (7)$$

โดยที่

$$t_{ji} = \mu \left[ \left( \frac{\partial u_i}{\partial x_j} + \frac{\partial u_j}{\partial x_i} \right) - \frac{2}{3} \delta_{ij} \frac{\partial u_k}{\partial x_k} \right] \quad (8)$$

$$-\rho \overline{u'_j u'_i} = \mu_t \left( \frac{\partial u_i}{\partial x_j} + \frac{\partial u_j}{\partial x_i} \right) - \frac{2}{3} \delta_{ij} \left( \rho k + \mu_t \frac{\partial u_k}{\partial x_k} \right) \quad (9)$$

$$P_k = -\rho \overline{u'_j u'_i} \left[ \frac{1}{2} \left( \frac{\partial u_i}{\partial x_j} + \frac{\partial u_j}{\partial x_i} \right) \right] \quad (10)$$

$$G_k = -\frac{\mu_t}{\sigma_T} g \beta \frac{\partial T}{\partial y} \quad (11)$$

$$\mu_t = \rho C_\mu f_\mu \frac{k^2}{\varepsilon} \quad (12)$$

สำหรับค่าคงที่ พังก์ชันการหน่วง และเทอมพิเศษต่างๆ มีค่าดังนี้

$$\sigma_k = 1.0, \sigma_\varepsilon = 1.3, \sigma_T = 0.9, C_\mu = 0.09, C_{\varepsilon 1} = 1.44,$$

$$C_{\varepsilon 2} = 1.92, C_{\varepsilon 3} = 1.0, f_{\varepsilon 1} = 1.0, f_{\varepsilon 2} = 1 - 0.3 \exp(-Re_t^2)$$

$$f_\mu = \exp \left( \frac{-3.4}{(1 + Re_t/50)^2} \right), D = \frac{2\mu}{\rho} \left( \frac{\partial \sqrt{k}}{\partial x_i} \right)^2,$$

$$E = \frac{2\mu}{\rho} \frac{\mu_t}{\rho} \left( \frac{\partial^2 u_i}{\partial x_k \partial x_m} \right)^2, \quad \text{Re}_t = \frac{\rho k^2}{\mu \epsilon}$$

คุณสมบัติของอากาศซึ่งเป็นของผสม (Mixture) ระหว่างอากาศแห้งและไอน้ำสามารถหาได้จากกฎการผสมกันของก๊าซสมบูรณ์แบบดังนี้

$$\rho_{mixture} = \frac{P}{RT \sum_{\alpha=1}^N (m_{\alpha} / M_{\alpha})} \quad (13)$$

$$C_{P,mixture} = \sum_{\alpha=1}^N (m_{\alpha} C_{P,\alpha}) \quad (14)$$

$$\mu_{mixture} = \sum_{\alpha=1}^N \left( \frac{x_{\alpha} \mu_{\alpha}}{\sum_{\beta=1}^N (x_{\beta} \Phi_{\alpha\beta})} \right) \quad (15)$$

โดยที่

$$\Phi_{\alpha\beta} = \frac{1}{\sqrt{8}} \left( 1 + \frac{M_{\alpha}}{M_{\beta}} \right)^{-1/2} \left[ 1 + \left( \frac{\mu_{\alpha}}{\mu_{\beta}} \right)^{1/2} \left( \frac{M_{\beta}}{M_{\alpha}} \right)^{1/4} \right]^2 \quad (16)$$

และ

$$\bar{k}_{mixture} = \sum_{\alpha=1}^N \left( \frac{x_{\alpha} \bar{k}_{\alpha}}{\sum_{\beta=1}^N (x_{\beta} \Phi_{\alpha\beta})} \right) \quad (17)$$

โดยที่

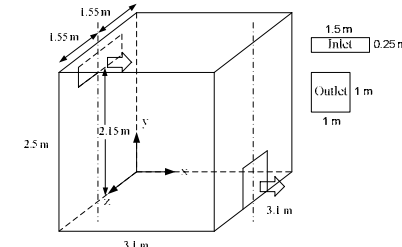
$$\Phi_{\alpha\beta} = \frac{1}{\sqrt{8}} \left( 1 + \frac{M_{\alpha}}{M_{\beta}} \right)^{-1/2} \left[ 1 + \left( \frac{\bar{k}_{\alpha}}{\bar{k}_{\beta}} \right)^{1/2} \left( \frac{M_{\beta}}{M_{\alpha}} \right)^{1/4} \right]^2 \quad (18)$$

สำหรับเงื่อนไขของเขตของห้องสะอาด SQE. C/R ได้จากข้อมูลการวัดของ ปราโมทย์ สิงห์ทอง, พัชรินทร์ จินดาหลวง, มนิชล่า สุภารัตน์ และ เศรษฐกิจ ป่วงกลาง (2003)

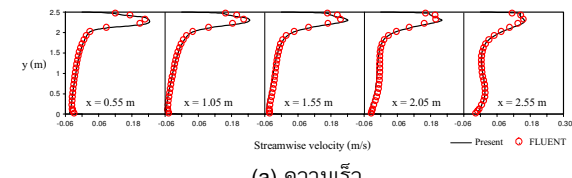
#### 4. การตรวจสอบโปรแกรมคอมพิวเตอร์ที่พัฒนาขึ้น

โปรแกรมคอมพิวเตอร์ที่พัฒนาขึ้นถูกนำไปใช้ในการจำลองปัญหาการไหลแบบบันทึกของอากาศที่มีความชื้นภายในห้องสี่เหลี่ยมเปรล่าดังแสดงในรูปที่ 2 อากาศที่ซึ่งทางเข้ามีอุณหภูมิ 30 °C ความชื้นสัมพัทธ์ 25 % และ Re=7,000 ผังทุกด้านของห้องมีอุณหภูมิคงที่ 20 °C โดยทำการเบรี่ยบเทียบผลการคำนวณที่ได้จากโปรแกรมคอมพิวเตอร์ที่พัฒนาขึ้นกับผลการคำนวณที่ได้จากซอฟต์แวร์ FLUENT เวอร์ชัน 6.1.22 บนระนาบ z=1.55 m ดังแสดงในรูปที่ 3

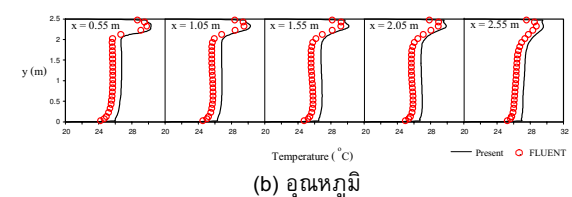
นอกจากนี้ได้ทำการเบรี่ยบเทียบค่าของความเร็วบนเส้น z=3.86 m และ y=0.92 m ของปัญหาการไหลของอากาศภายในห้องสะอาดขณะ Laminar Flow Hood ไม่ได้ทำงาน ระหว่างผลการคำนวณที่ได้จากโปรแกรมคอมพิวเตอร์ที่พัฒนาขึ้นกับผลการคำนวณที่ได้จากซอฟต์แวร์ FLUENT รูปที่ 4-7 แสดงการเบรี่ยบเทียบการกระจายตัวของความเร็วในแนวแกน x, y, z และความชื้นสัมพัทธ์ตามลำดับ



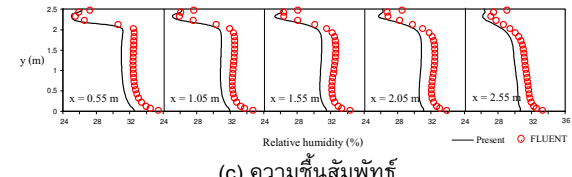
รูปที่ 2 รูปร่างของปัญหาการไหลของอากาศที่มีความชื้นภายในห้องสี่เหลี่ยมเปรล่าในระบบพิกัดจาก 3 มิติ



(a) ความเร็ว

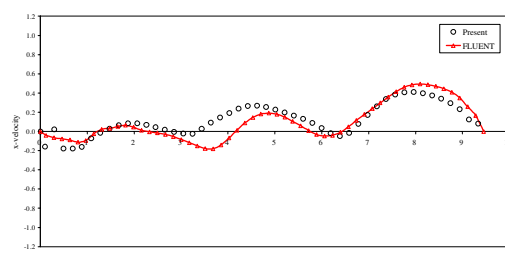


(b) อุณหภูมิ

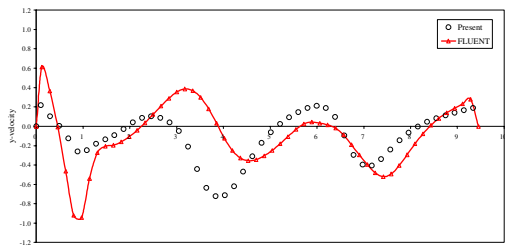


(c) ความชื้นสัมพัทธ์

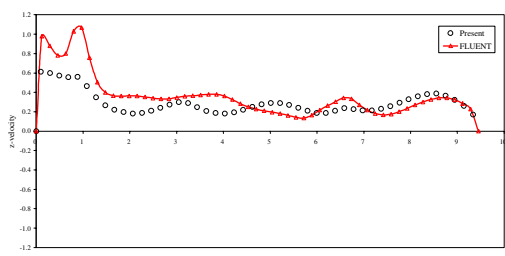
รูปที่ 3 การกระจายตัวของ (a) ความเร็ว (b) อุณหภูมิ และ (c) ความชื้นสัมพัทธ์ ของปัญหาการไหลของอากาศที่มีความชื้นภายในห้องสี่เหลี่ยมเปรล่า



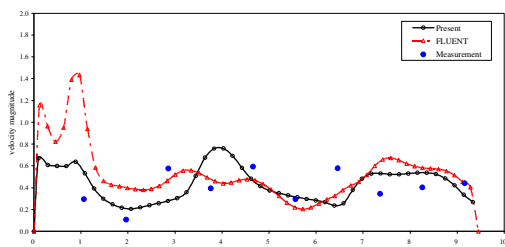
รูปที่ 4 ความเร็วในแนวแกน x ของการไหลภายในห้องสะอาด



รูปที่ 5 ความเร็วในแนวแกน y ของการไหลภายในห้องสะอาด



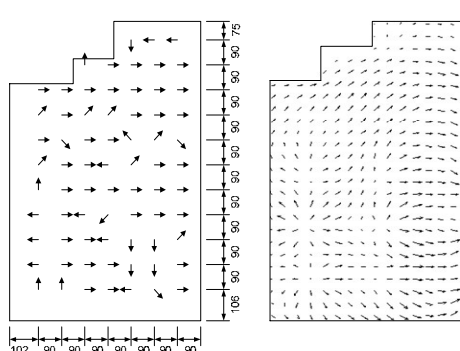
รูปที่ 6 ความเร็วในแนวแกน z ของการไหลภายในห้องสะอาด



รูปที่ 7 ความเร็วสัมพช์ของการไหลภายในห้องสะอาด

## 5. ผลการคำนวณและการวิเคราะห์

ผลการเปรียบเทียบทิศทางของการกระจายตัวของความเร็วบนระนาบที่สูงจากพื้น 1 m ในการจำลองการไหลของอากาศภายในห้องสะอาด QE. C/R ระหว่างผลการวัดกับผลจากการจำลองแสดงในรูปที่ 8 การวิเคราะห์ผลถูกแบ่งออกเป็น 4 ส่วนดังนี้

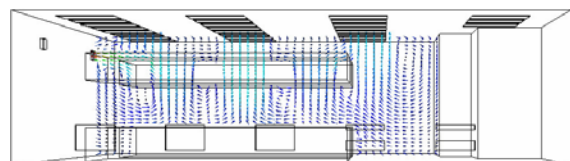


(a) ผลจากการวัด  
 (b) ผลการจำลอง  
 รูปที่ 8 การเปรียบเทียบทิศทางการไหลของอากาศ

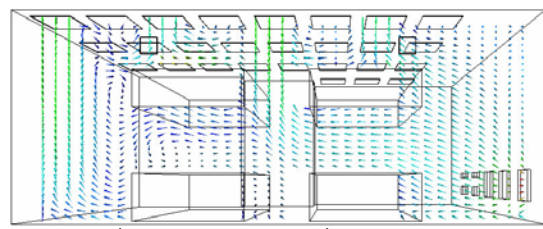
### 5.1 พฤติกรรมของการไหลของอากาศภายในห้องสะอาด

ผลการคำนวณเชิงตัวเลขที่ได้จากโปรแกรมคอมพิวเตอร์ที่พัฒนาขึ้น ได้แสดงผลการคำนวณในรูปของเวคเตอร์ความเร็วด้วยโปรแกรมแสดงผลการคำนวณ SCView ซึ่งถูกพัฒนาโดยภาควิชาวิศวกรรมคอมพิวเตอร์ มหาวิทยาลัยเกษตรศาสตร์ บางเขน ดังแสดงในรูปที่ 9 และ 10 พบว่าการไหลของอากาศหลังออกจาก HEPA บริเวณไกลักบันด้านทิศตะวันออกจะเกิดการไหลหมุนวนของอากาศที่บริเวณไกลักบันเดานของห้องสะอาด อันเนื่องมาจากอิทธิพลของการไหลของอากาศที่ออกมาจาก Laminar Flow Hood ทำให้เกิดการเปลี่ยนทิศทางการไหลของอากาศที่ออกจาก HEPA จนกลายเป็นการไหลหมุนวนที่บริเวณดังกล่าวในที่สุด นอกจากนี้ยังพบว่าตำแหน่งของ การไหลหมุนวนดังกล่าวจะลดความสูงลง เมื่อระนาบที่พิจารณาอยู่ใกล้กับบริเวณซ่องลมกลับ ในรูปที่ 9 แสดงให้เห็นว่าขนาดของความเร็วที่ออกจาก Laminar Flow Hood มีขนาดที่ไม่มากเกินไปจนทำให้อากาศกระหนบกับไกลักบันโดยปฏิบัติงานแล้วเกิดเป็นการหมุนวนขึ้นบนโดยปฏิบัติงาน

พิจารณาผลการคำนวณเชิงตัวเลขที่ได้ในรูปที่ 10 พบว่าพื้นที่ใน การปฏิบัติงานบริเวณไกลักบันซ่องลมกลับ การไหลของอากาศที่ออกจาก Laminar Flow Hood สามารถราย�回อกสู่ซ่องลมกลับได้เป็นอย่างดี ตรงกับข้ามกับพื้นที่ในการปฏิบัติงานบริเวณไกลักบันที่ไม่มีการติดตั้งซ่องลมกลับ การไหลของอากาศส่วนหนึ่งหลังออกจาก Laminar Flow Hood จะเคลื่อนที่ไปยังผังด้านตรงข้ามกับซ่องลมกลับแล้วเคลื่อนที่ต่อไปทางด้านบนของ Laminar Flow Hood และถูกดูดเข้าไปยัง Laminar Flow Hood ในที่สุด ซึ่งทำให้อากาศใหม่ที่ออกมาจาก HEPA ไม่สามารถเข้าไปแทนที่อากาศบริเวณดังกล่าวได้ ส่งผลเสียต่อประสิทธิภาพของแผ่นกรองฝุ่นละอองที่ติดตั้งอยู่ใน Laminar Flow Hood ต้องทำหน้าที่กรองฝุ่นละอองที่มาจากการปฏิบัติงานได้ Laminar Flow Hood อยู่ตลอดเวลา



รูปที่ 9 เวคเตอร์ความเร็วที่ระนาบ z=1.9 m

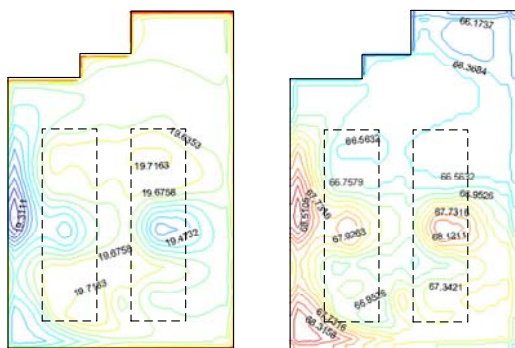


รูปที่ 10 เวคเตอร์ความเร็วที่ระนาบ x=5.4 m

## 5.2 พฤติกรรมของอุณหภูมิและความชื้นภายในห้องสะอาด

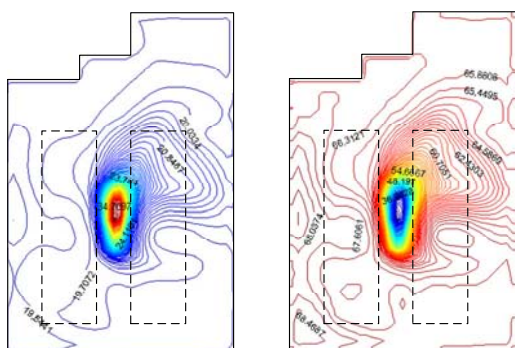
ผลของการกระจายตัวของอุณหภูมิและความชื้นสัมพัทธ์ที่ระนาบความสูงจากพื้น 1 m ดังแสดงในรูปที่ 11 พบว่าอุณหภูมิภายในห้องสะอาดมีค่าอยู่ในช่วง 19 °C-20 °C ซึ่งต่ำกว่าอุณหภูมิควบคุมปกติภายในห้องสะอาดที่มีค่า  $22 \pm 0.1$  °C ตามคำแนะนำของ สรุปผล พฤกษพานิช (2003) ส่วนปริมาณของความชื้นสัมพัทธ์อยู่ในช่วง 66 %-69 %

ซึ่งสูงกว่าค่าความชื้นสัมพัทธ์ปกติที่ต้องควบคุมภายในห้องสะอาดที่มีค่า  $50 \pm 2.5\%$  ตามคำแนะนำของ สุรพล พฤกษาพานิช (2003) อิทธิพลของอากาศเย็นที่อุ่นมาจาก HEPA ทำให้พื้นที่บริเวณใต้ HEPA มีความชื้นสัมพัทธ์ที่สูงกว่าบริเวณอื่นๆ ภายในห้องสะอาด



รูปที่ 11 การกระจายตัวของอุณหภูมิ ( $^{\circ}\text{C}$ ) และความชื้นสัมพัทธ์ (%) ที่ระนาบสูงจากพื้น 1 m

นอกจากนี้ยังได้ศึกษาผลของการติดตั้งแหล่งกำเนิดความร้อนเพื่อใช้ศึกษาการกระจายตัวของอุณหภูมิและความชื้นสัมพัทธ์ในกรณีที่ภายในห้องสะอาดมีอุปกรณ์ที่เป็นแหล่งผลิตความร้อน โดยแหล่งกำเนิดความร้อนที่ใช้ในการศึกษามีขนาด 10 kW ซึ่งเทียบเท่ากับปริมาณความร้อนที่ปลดปล่อยออกมากจากกลุ่มของเครื่องคอมพิวเตอร์จำนวน 35 เครื่องตามข้อมูลงานวิจัยของ Zhao, Li, and Yan (2003) ติดตั้งไว้บริเวณกลางห้องสะอาด ผลจากการติดตั้งแหล่งกำเนิดความร้อนนั้น ทำให้อุณหภูมิของอากาศบริเวณใกล้เคียงกับแหล่งกำเนิดความร้อนมีอุณหภูมิสูงและความชื้นสัมพัทธ์ต่ำ ซึ่งมีค่าประมาณ  $35^{\circ}\text{C}$  และ 39 % ตามลำดับ ซึ่งมองกลับจะทำหน้าที่ระบายน้ำอากาศที่มีอุณหภูมิสูงอันเนื่องมาจากการติดตั้งแหล่งกำเนิดความร้อนออกจากห้องสะอาด ดังนั้นจึงทำให้อุณหภูมิของอากาศบริเวณช่องลมกลับมีอุณหภูมิสูง ดังแสดงในรูปที่ 12

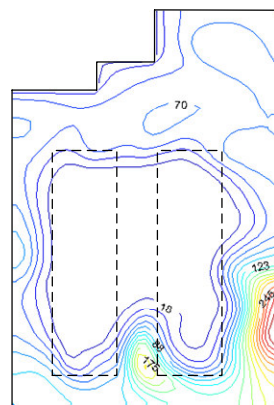


รูปที่ 12 การกระจายตัวของอุณหภูมิ ( $^{\circ}\text{C}$ ) และความชื้นสัมพัทธ์ (%) ที่ระนาบสูงจากพื้น 1 m กรณีมีการติดตั้งแหล่งกำเนิดความร้อนไว้บริเวณกลางห้องสะอาด

### 5.3 พฤติกรรมของฝุ่นละอองภายในห้องสะอาด

จากการวิเคราะห์เชิงส่วนบุคคลของฝุ่นละอองภายในห้องสะอาด พบว่าอนุภาคของฝุ่นละอองไม่ส่งผลกระทบต่อการไหลของ

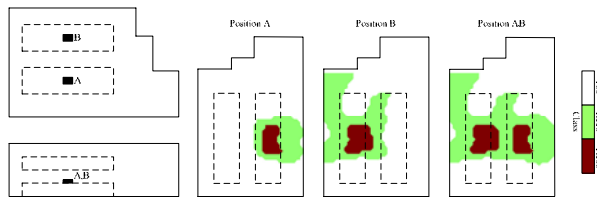
อากาศ ซึ่งสอดคล้องกับงานวิจัยของ Rouaud and Havet (2005) ดังนั้นในการศึกษาพฤติกรรมของฝุ่นละอองภายในห้องสะอาดจึงเป็นการศึกษาพฤติกรรมของฝุ่นละอองที่ถูกกระทำโดยการไหลของอากาศ พฤติกรรมของฝุ่นละอองถูกศึกษาผ่านสมการการขนถ่ายของระดับความเข้มข้นของฝุ่นละอองโดยเฉลี่ยที่แสดงถึงจำนวนอนุภาคโดยเฉลี่ยในปริมาตร  $1 \text{ m}^3$  เนื่องจากความเข้มข้นของฝุ่นละอองโดยเฉลี่ยที่ HEPA สามารถค่านวณได้โดยการพิจารณาถึงประสิทธิภาพการกรองฝุ่นละอองของ HEPA ที่มีค่า 99.97 % และห้องสะอาดที่พิจารณาเมื่อระดับความสะอาด Class 10,000 ซึ่งมีการกำหนดจำนวนอนุภาคขนาด  $0.5 \mu\text{m}$  ไม่เกิน 353,000 อนุภาคในปริมาตร  $1 \text{ m}^3$  ดังนั้นเงื่อนไขของความเข้มข้นของฝุ่นละอองโดยเฉลี่ยที่ HEPA มีค่า  $106 \text{ Particles}/\text{m}^3$  สำหรับระดับความเข้มข้นของฝุ่นละอองโดยเฉลี่ยที่ซ่องลมนั้น พิจารณาจากผนังของซ่องลมอยู่ดีกับห้องสะอาด Class 100 จึงได้กำหนดระดับความเข้มข้นของฝุ่นละอองโดยเฉลี่ยที่ซ่องลมมีค่า  $3,530 \text{ Particles}/\text{m}^3$  นอกจากนี้ยังได้พิจารณาการกรองฝุ่นละอองของแผ่นกรองฝุ่นละอองที่ติดตั้งภายใน Laminar Flow Hood ด้วยเหตุที่ก่อให้เกิดการสูญเสียเพื่อให้สามารถรักษาระดับความสะอาด Class 100 ในบริเวณพื้นที่การปฏิบัติงาน ผลการค่านวณเชิงตัวเลขที่ได้แสดงการกระจายตัวของระดับความเข้มข้นของฝุ่นละอองโดยเฉลี่ยที่ระนาบความสูงจากพื้น 1 m ดังรูปที่ 13 ซึ่งพบว่าบริเวณฝุ่นละอองจำนวนมากที่มาจากการติดตั้งแหล่งกำเนิดความร้อนนั้นได้เป็นอย่างดีด้วยซ่องลมกลับ และพบว่าบริเวณพื้นที่ปฏิบัติงานได้ Laminar Flow Hood มีปริมาณฝุ่นละอองน้อยมาก



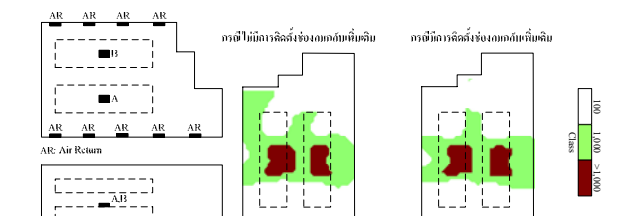
รูปที่ 13 การกระจายตัวของความเข้มข้นของฝุ่นละออง ( $\text{Particles}/\text{m}^3$ ) ที่ระนาบสูงจากพื้น 1 m

หลังจากการศึกษาการกระจายตัวของฝุ่นละอองที่มาจากการติดตั้งแหล่งกำเนิดความร้อนในงานวิจัยนี้ยังได้ศึกษาการกระจายตัวของฝุ่นละอองที่เกิดจากการปฏิบัติงานในพื้นที่ปฏิบัติงานได้ Laminar Flow Hood ซึ่งถูกจำลองด้วยแหล่งกำเนิดฝุ่นละออง ตามข้อมูลงานวิจัยของ Rouaud and Havet (2005) เป็นปริมาณฝุ่นละอองที่สอดคล้องกับปริมาณฝุ่นละอองที่เกิดจากการ分布การผลิตภายในห้องสะอาดมีขนาด  $10^5 \text{ Particle/s}$  โดยได้ศึกษาผลของแหล่งกำเนิดฝุ่นละอองจำนวน 1 ตำแหน่งและ 2 ตำแหน่งที่เปรียบเสมือนมีกระบวนการผลิตภายในพื้นที่ปฏิบัติงานได้ Laminar Flow Hood จำนวน 1 บริเวณ และ 2 บริเวณ ผลการศึกษา

แสดงดังรูปที่ 14 สำหรับกรณีที่มีแหล่งกำเนิดฝุ่นละออง 1 ตำแหน่งในพื้นที่ปฏิบัติงานใต้ Laminar Flow Hood ที่ใกล้กับช่องลมกลับ พบร้าฝุ่นละอองที่ปลดปล่อยมาจากแหล่งกำเนิดฝุ่นละอองสามารถระบายออกจากห้องสะอาดได้เป็นอย่างดีด้วยช่องลมกลับ ทำให้พื้นที่ส่วนใหญ่ภายในห้องมีปริมาณฝุ่นละอองอยู่ในพื้นที่ปฏิบัติงานใต้ Laminar Flow Hood ที่ใกล้กับผนังที่ไม่มีการติดตั้งช่องลมกลับ พบร้าฝุ่นละอองที่ปลดปล่อยมาจากกระบวนการผลิตในพื้นที่ปฏิบัติงานใต้ Laminar Flow Hood ใกล้กับผนังที่ไม่มีการติดตั้งช่องลมกลับจะแพร่กระจายเป็นบริเวณกว้าง เนื่องจากผลของรูปแบบการไหลในบริเวณดังกล่าวที่มีลักษณะการไหลของอากาศส่วนหนึ่งเมื่อออกจาก Laminar Flow Hood และไม่ได้เคลื่อนที่ไปยังช่องลมกลับแต่กลับถูกเหนี่ยวนำให้เคลื่อนที่เข้าไปยัง Laminar Flow Hood ทางด้านบนด้วยอิทธิพลของแหล่งกำเนิดโมเมนตัมภายใน Laminar Flow Hood ดังที่ได้แสดงในรูปที่ 10 ทำให้ฝุ่นละอองในบริเวณดังกล่าวถูกระบายนอกได้ยาก ส่วนอากาศที่ไม่ได้ถูกเหนี่ยวนำเข้าไปใน Laminar Flow Hood จะใช้เวลานานในการเคลื่อนที่ไปยังช่องลมกลับเนื่องจากระยะทางที่ไกล สรุปผลให้พื้นที่มีระดับความสะอาด Class 100 ภายในห้องสะอาดลดลงอย่างเห็นได้ชัด วิธีการที่จะช่วยลดปริมาณฝุ่นละอองที่เกิดขึ้นจากการปฏิบัติงานใต้ Laminar Flow Hood ในบริเวณดังกล่าวสามารถทำได้โดยการติดตั้งช่องลมกลับเพิ่มเติม ดังแสดงในรูปที่ 15 ซึ่งพบว่าพื้นที่ที่มีระดับความสะอาด Class 100 มีพื้นที่เพิ่มขึ้น 20 %



รูปที่ 14 ตำแหน่งของแหล่งกำเนิดฝุ่นละอองและระดับความสะอาดที่ระนาบความสูงจากพื้น 1 m

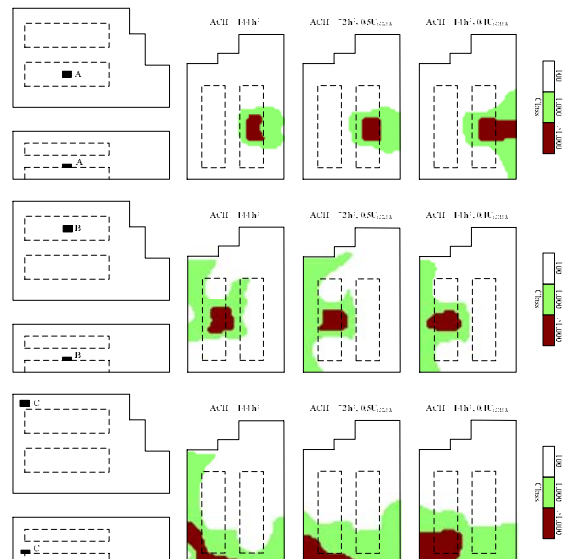


รูปที่ 15 การติดตั้งช่องลมกลับเพิ่มเติมเพื่อช่วยในการระบายฝุ่นละอองออกจากห้องสะอาด

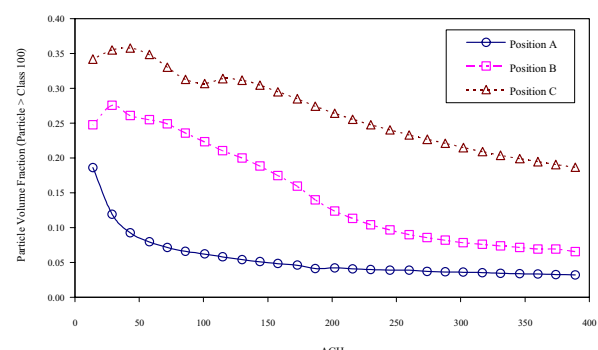
#### 5.4 ผลกระทบของ ACH ที่มีต่อการควบคุมระดับความสะอาดภายในห้องสะอาด

ในหัวข้อนี้จะนำเสนอผลกระทบของ ACH ที่มีต่อการควบคุมระดับความสะอาดภายในห้องสะอาด เพื่อใช้ในการวิเคราะห์หาค่า ACH ที่เหมาะสมต่อการปฏิบัติงานภายในห้องสะอาด ความสัมพันธ์ระหว่างปริมาณ ACH กับปริมาณฝุ่นละอองที่แสดงอยู่ในรูปของเศษส่วนปริมาตรของฝุ่นละอองที่มีระดับความสะอาดมากกว่า Class 100 โดย

พิจารณาบริเวณที่มีการติดตั้งแหล่งกำเนิดฝุ่นละออง 3 บริเวณด้วยกัน ดังแสดงในรูปที่ 16 และ 17 ซึ่งขนาดของแหล่งกำเนิดฝุ่นละอองที่ใช้พิจารณา มีขนาด  $10^5 \text{ Particles/s}$  จากผลการคำนวณที่ได้พบว่าระดับความสะอาดดีภายในห้องสะอาดจะขึ้นอยู่กับตำแหน่งในการติดตั้งแหล่งกำเนิดฝุ่นละออง การติดตั้งแหล่งกำเนิดฝุ่นละอองไว้ในบริเวณที่อากาศไม่สามารถถ่ายเทได้สะดวกจะทำให้การควบคุมระดับความสะอาดเป็นไปได้ยาก นอกจากนี้ยังพบว่าการเพิ่มปริมาณ ACH ก็ไม่แน่เสมอไปว่าจะสามารถช่วยรักษาระดับความสะอาดภายในห้องสะอาดได้มากนัก การเพิ่มปริมาณ ACH โดยปราศจากการวิเคราะห์เพื่อหาค่าที่เหมาะสมแล้วอาจจะทำให้เกิดความสัมเปลืองของต้นทุนในการผลิต ซึ่งการจะหาค่าปริมาณ ACH ที่เหมาะสมจำเป็นอย่างยิ่งที่จะต้องทำการทดลองในการติดตั้งแหล่งกำเนิดฝุ่นละอองหรือเบรเยนสมีนกับการหาบริเวณที่จะใช้ในการปฏิบัติงานให้ได้ถูกต้อง ดังห้องสะอาดที่ใช้ในการศึกษาครั้งนี้ตำแหน่งที่เหมาะสมที่จะใช้ในการปฏิบัติงานมากที่สุดคือบริเวณตำแหน่ง A และปริมาณ ACH ที่เหมาะสมต่อการรักษาระดับความสะอาดภายในห้องการอยู่ที่  $150 \text{ h}^{-1}$  ปริมาณ ACH ที่ต่ำกว่า  $50 \text{ h}^{-1}$  จะทำให้พื้นที่ที่มีระดับความสะอาด Class 100 ลดลงอย่างรวดเร็ว

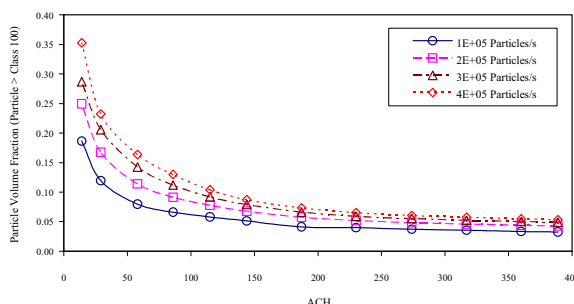


รูปที่ 16 ตำแหน่งของแหล่งกำเนิดฝุ่นละออง และระดับความสะอาดที่ระนาบความสูง 1 m ที่ปริมาณ ACH =  $144 \text{ h}^{-1}$ ,  $72 \text{ h}^{-1}$  และ  $14 \text{ h}^{-1}$



รูปที่ 17 ความสัมพันธ์ระหว่าง ACH กับ เศษส่วนปริมาตรของฝุ่นละอองที่มีระดับความสะอาดมากกว่า Class 100

นอกจากนี้ยังได้ศึกษาผลของการเปลี่ยนแปลงขนาดของแหล่งกำเนิดฝุ่นละอองที่มีต่อระดับความสะอาดภายในห้องสะอาด โดยเลือกติดตั้งแหล่งกำเนิดฝุ่นละอองไว้ที่ตำแหน่ง A ผลการคำนวณแสดงในรูปที่ 18 ซึ่งพบว่าพฤติกรรมของฝุ่นละอองมีลักษณะที่คล้ายคลึงกัน คือพื้นที่ที่มีระดับความสะอาด Class 100 จะลดลงอย่างรวดเร็วที่ปริมาณ ACH ค่าหนึ่ง และปริมาณ ACH ที่มากกว่า 150 h<sup>-1</sup> จะทำให้พื้นที่ที่มีระดับความสะอาด Class 100 มีค่าค่อนข้างคงที่



รูปที่ 18 ผลกระทบของการเปลี่ยนแปลงขนาดของแหล่งกำเนิดฝุ่นละอองที่มีต่อระดับความสะอาดภายในห้องสะอาด

## 6. สรุป

โปรแกรมคอมพิวเตอร์ที่พัฒนาขึ้นสามารถใช้เป็นเครื่องมือในการวิเคราะห์และการออกแบบห้องสะอาดได้ แต่ยังคงต้องมีการพัฒนาเพื่อเพิ่มความสามารถต่อไป โดยโปรแกรมคอมพิวเตอร์สามารถจำลองพฤติกรรมของความเร็ว อุณหภูมิ ความชื้น และฝุ่นละอองภายในห้องสะอาดได้

## 7. กิตติกรรมประกาศ

งานวิจัยนี้ได้รับการสนับสนุนจาก สถาบันบัณฑิตวิทยาศาสตร์และเทคโนโลยีไทย สำนักงานพัฒนาวิทยาศาสตร์และเทคโนโลยีแห่งชาติ และขอขอบคุณสำนักงานกองทุนสนับสนุนการวิจัย (สกอ.) สำหรับทุนเมธิวิจัยอาวุโส ศ.ดร. ปราโมทย์ เดชะอิ่ม

## เอกสารอ้างอิง

- [1] ปราโมทย์ สิงห์ทอง, พัชรินทร์ จินดาหลวง, มลิธิลา สุภาภรณ์ และ เศรษฐกิจ ป่วงกลาง. (2003). การศึกษาและวิเคราะห์พฤติกรรมทางกายภาพของห้องสะอาดขนาดเล็ก. โครงการปริญญาโท วิศวกรรมศาสตรบัณฑิต สาขาวิชาบริกรรมเครื่องกล สำนักวิชาบริกรรมศาสตร์ มหาวิทยาลัยเทคโนโลยีสุรนารี.
- [2] สุรพล พฤกษาพันธุ. (2003). การออกแบบห้องสะอาด. ใน เอกสารการสัมมนาวิชาการเรื่อง เทคโนโลยีและการออกแบบห้องสะอาด. สมาคมวิศวกรรมป้องกันอากาศแห้งประเทศไทย. กรุงเทพมหานคร.
- [3] Bird, R. B., Stewart, W. E., and Lightfoot, E. N. (2002). **Transport phenomena** (2nd ed.). United States of America: John Wiley & Sons.
- [4] Cengel, Y. A., and Boles, M. A. (1998). **Thermodynamics: An engineering approach** (3rd ed.). McGraw-Hill.
- [5] Cheng, M., Liu, G. R., Lam, K. Y., Cai, W. J., and Lee, E. L. (1999). Approaches for improving airflow uniformity in unidirectional flow cleanrooms. **Building and Environment** 34: 275-284.
- [6] Fluent Inc. (2001). **Fluent user's guide: Version 6.1**. United States of America: Fluent Inc.
- [7] Hu, S. C., Chuah, Y. K., and Yen, M. C. (2002). Design and evaluation of a minienvironment for semiconductor manufacture processes. **Building and Environment** 37: 201-208.
- [8] Incropera, F. P., and De Witt, D. P. (1985). **Fundamentals of heat and mass transfer** (2nd ed.). United States of America: John Wiley & Sons.
- [9] Launder, B. E., and Sharma, B. I. (1974). Application of the energy dissipation model of turbulence to the calculation of flow near a spinning disc. **Letters in Heat and Mass Transfer** 1: 131-138.
- [10] Patankar, S. V. (1980). **Numerical heat transfer and fluid flow**. United States of America: Hemisphere.
- [11] Rhie, C. M., and Chow, W. L. (1983). Numerical study of the turbulent flow past an airfoil with trailing edge separation. **AIAA Journal** 21 (11): 1525-1532.
- [12] Rouaud, O., and Havet, M. (2002). Computation of the airflow in a pilot scale clean room using  $k-\varepsilon$  turbulence models. **International Journal of Refrigeration** 25: 351-361.
- [13] Rouaud, O., and Havet, M. (2005). Numerical investigation on the efficiency of transient contaminant removal from a food processing clean room using ventilation effectiveness concepts. **Journal of Food Engineering** 68: 163-174.
- [14] Teodosiu, C., Hohota, R., Rusu, G., and Woloszyn, M. (2003). Numerical prediction of indoor air humidity and its effect on indoor environment. **Building and Environment** 38: 655-664.
- [15] Varaksin, A. Y., Polezhaev, Y. V., and Polyakov, A. F. (2000). Effect of particle concentration of fluctuating velocity of the disperse phase for turbulent pipe flow. **International Journal of Heat and Fluid Flow** 21: 562-567.
- [16] Versteeg, H. K., and Malalasekera, W. (1995). **An introduction to computational fluid dynamics: The finite volume method**. Malaysia: Longman Scientific & Technical.